

Теория диффузионного осаждения продуктов распада благородных газов в круглом и плоском каналах

В. М. Бережной, В. Н. Кириченко

В настоящей работе дается решение задачи о диффузии отдельных атомов, образующихся в ламинарном потоке газа, протекающего через круглый или плоский канал. Полученные выражения для проскока через канал и распределения по длине поверхностной плотности осевших на стенки атомов могут быть использованы для определения коэффициентов диффузии атомов некоторых твердых продуктов, образующихся в результате распада радиоактивных благородных газов, и учета их осаждения в пробоотборных трубках.

Если r — расстояние от оси трубки, r_0 — радиус трубки и x — расстояние от начала трубки, то уравнение стационарной диффузии образующихся атомов запишется в виде

$$D \frac{1}{r} \cdot \frac{\partial}{\partial r} \left(r \frac{\partial c}{\partial r} \right) + D \frac{\partial^2 c}{\partial x^2} - 2\bar{u} \left(1 - \frac{r^2}{r_0^2} \right) \frac{\partial c}{\partial x} + q = 0, \quad (1)$$

где c — концентрация атомов; D — коэффициент диффузии атомов; q — скорость образования атомов в единице объема; $2\bar{u} \left(1 - \frac{r^2}{r_0^2} \right)$ — пуазейлевская скорость потока; \bar{u} — средняя скорость потока. Решение уравнения (1) найдем в предположении малости диффузии вдоль течения, постоянства q и при следующих граничных условиях: $c(r_0, x) = 0$ — полностью поглощающая стенка; $c(r, 0) = 0$ — газ при входе в канал отфильтрован.

Тогда в безразмерных координатах $\eta = \frac{r}{r_0}$

и $\mu = \frac{Dx}{2ur_0^2}$ уравнение примет вид

$$\frac{1}{\eta} \cdot \frac{\partial}{\partial \eta} \left(\eta \frac{\partial c}{\partial \eta} \right) - (1 - \eta^2) \frac{\partial c}{\partial \mu} + \sigma = 0; \quad (2)$$

$$c(1; \mu) = c(\eta, 0) = 0, \quad (3)$$

где

$$\sigma = q \frac{r_0^2}{D} = \text{const}. \quad (4)$$

Проскок атомов, определяемый как отношение полного потока атомов через сечение канала на расстоянии x от его начала к количеству атомов, образовавшихся

на том же отрезке канала за единицу времени, найдем из выражения

$$K(x) = \frac{\int_0^{r_0} 2\bar{u} \left(1 - \frac{r^2}{r_0^2} \right) c(r, x) 2\pi r dr}{\pi r_0^2 x q} = \frac{2}{\sigma \mu} \int_0^1 \eta (1 - \eta^2) c(\eta, \mu) d\eta, \quad (5)$$

а плотность осадка, образовавшегося на стенках канала за время Δt , будет иметь вид

$$j = -D \frac{\partial c}{\partial r} \Big|_{r=r_0} \Delta t = -\Delta t \frac{D}{r_0} \cdot \frac{\partial c}{\partial \eta} \Big|_{\eta=1}. \quad (6)$$

Асимптотические выражения для величин c , j , K легко найти из уравнения (2), если учесть, что при больших μ $\frac{\partial c}{\partial \mu} = 0$, так как при этом скорость образования атомов равна скорости их осаждения:

$$c_\infty(\eta) = \lim_{\mu \rightarrow \infty} c(\eta, \mu) = \frac{1}{4} \sigma (1 - \eta^2); \quad (7)$$

$$j_\infty = \frac{1}{2} \cdot \frac{D}{r_0} \sigma \Delta t = \frac{1}{2} q r_0 \Delta t; \quad (8)$$

$$K_\infty(\mu) = \frac{1}{12\mu}. \quad (9)$$

В общем случае неоднородное уравнение (2) вместе с граничными условиями (3) допускает разделение переменных, и решение может быть записано в виде

$$c(\eta, \mu) = \sum_{k=1}^{\infty} A_k (1 - e^{-\lambda_k^2 \mu}) L(\eta, \lambda_k). \quad (10)$$

Здесь $e^{-\lambda_k^2 \mu} L(\eta, \lambda_k)$ — решение соответствующего однородного уравнения, где $L(\eta, \lambda_k) = e^{-\frac{1}{2} \lambda_k \eta^2} {}_1F_1 \left[-\frac{1}{4} \times (\lambda_k - 2) | 1 | \lambda_k \eta^2 \right]$ — решение уравнения $\frac{1}{\eta} \cdot \frac{d}{d\eta} \times \left(\eta \frac{dy}{d\eta} \right) + \lambda_k^2 (1 - \eta^2) y = 0$, ограниченное при

$\eta=0$. Вырожденная гипергеометрическая функция ${}_1F_1\left[-\frac{1}{4}(\lambda-2) \mid 1 \mid \lambda \eta^2\right]$ в точке $\eta=1$ удовлетворяет граничному условию ${}_1F_1\left[-\frac{1}{4}(\lambda-2) \mid 1 \mid \lambda\right]=0$ при $\lambda=\lambda_k$, где $k=1, 2, 3, \dots$ и все λ_k действительные величины, что можно показать методом, использованным в работе [1].

Подставим решение (10) в (2) и найдем соотношение для определения коэффициентов A_k :

$$\sum_{k=1}^{\infty} A_k \lambda_k^2 (1-\eta^2) e^{-\frac{1}{2} \lambda_k \eta^2} {}_1F_1 \times \left[-\frac{1}{4}(\lambda_k-2) \mid 1 \mid \lambda_k \eta^2\right] = \sigma. \quad (11)$$

Используя ортогональность собственных функций $L(\eta, \lambda_k)$

$$\int_0^1 \eta(1-\eta^2) L(\eta, \lambda_k) L(\eta, \lambda_l) d\eta = 0 \text{ при } k \neq l \quad (12)$$

и выражение для нормы

$$N_k^2 = \int_0^1 \eta(1-\eta^2) L^2(\eta, \lambda_k) d\eta = \frac{1}{2\lambda_k} e^{-\lambda_k} \frac{d_1 F_1}{d\eta} \Big|_{\eta=1} \frac{d_1 F_1}{d\lambda} \Big|_{\lambda=\lambda_k; \eta=1}, \quad (13)$$

которые могут быть найдены из уравнения для $L(\eta, \lambda_k)$, получим

$$A_k = \frac{\sigma M_k}{\lambda_k e^{-\lambda_k} \frac{d_1 F_1}{d\eta} \Big|_{\eta=1} \frac{d_1 F_1}{d\lambda} \Big|_{\lambda=\lambda_k; \eta=1}}, \quad (14)$$

где

$$M_k = \int_0^1 e^{-\frac{1}{2} \lambda_k \eta} {}_1F_1\left(-\frac{1}{4}(\lambda_k-2) \mid 1 \mid \lambda_k \eta\right) d\eta. \quad (15)$$

Окончательные выражения для $c(\eta, \mu)$, $K(\mu)$ и $j(\mu)$ имеют вид:

$$c(\eta, \mu) = \sigma \sum_{k=1}^{\infty} \frac{M_k (1-e^{-\lambda_k^2 \mu})}{\lambda_k e^{-\lambda_k} \frac{d_1 F_1}{d\eta} \Big|_{\eta=1} \frac{d_1 F_1}{d\lambda} \Big|_{\lambda=\lambda_k; \eta=1}} \times e^{-\frac{1}{2} \lambda_k \eta^2} {}_1F_1\left[-\frac{1}{4}(\lambda_k-2) \mid 1 \mid \lambda_k \eta^2\right]; \quad (16)$$

$$K(\mu) = -\frac{2}{\mu} \sum_{k=1}^{\infty} \frac{M_k (1-e^{-\lambda_k^2 \mu})}{\lambda_k^3 e^{-\frac{1}{2} \lambda_k} \frac{d_1 F_1}{d\lambda} \Big|_{\lambda=\lambda_k; \eta=1}}; \quad (17)$$

$$j(\mu) = -\Delta t q r_0 \sum_{k=1}^{\infty} \frac{M_k (1-e^{-\lambda_k^2 \mu})}{\lambda_k e^{-\frac{1}{2} \lambda_k} \frac{d_1 F_1}{d\lambda} \Big|_{\lambda=\lambda_k; \eta=1}}. \quad (18)$$

Для получения расчетных формул первые три значения λ_k и $\frac{d_1 F_1}{d\lambda}$ были взяты из работы [2]: $\lambda_1=2,7044$; $\lambda_2=6,6790$; $\lambda_3=10,673$; $\frac{d_1 F_1}{d\lambda} \Big|_{\lambda=\lambda_1} = -1,9364$; $\frac{d_1 F_1}{d\lambda} \Big|_{\lambda=\lambda_2} = 10,478$; $\frac{d_1 F_1}{d\lambda} \Big|_{\lambda=\lambda_3} = -66,15$, а первые три величины $\lambda_k M_k$ рассчитаны нами на электронно-вычислительной машине: $\lambda_1 M_1 = 1,0644$; $\lambda_2 M_2 = -1,10835$; $\lambda_3 M_3 = 1,1220$. Подставим эти значения в выражения для (μ) и $K(\mu)$. Тогда

$$j(\mu) = \Delta t q r_0 [0,2906 (1-e^{-7,314\mu}) + 0,06688 (1-e^{-44,61\mu}) + 0,03094 (1-e^{-113,91\mu}) + \dots];$$

$$K(\mu) = \frac{2}{\mu} [0,03973 (1-e^{-7,314\mu}) + 0,001499 (1-e^{-44,61\mu}) + 0,0002716 (1-e^{-113,91\mu}) + \dots].$$

Ограничиваясь тремя членами для $K(\mu)$, получим

$$K(\mu) \xrightarrow{\mu \rightarrow \infty} \frac{0,082995}{\mu},$$

что всего на 0,4% меньше $\frac{1}{12\mu} = \frac{0,083333}{\mu}$. Таким образом, для больших μ с учетом четвертого и всех последующих членов имеем

$$K(\mu) = \frac{2}{\mu} [0,03973 (1-e^{-7,314\mu}) + 0,001499 (1-e^{-44,61\mu}) + 0,0002716 (1-e^{-113,91\mu}) + 0,000169]; \quad (19)$$

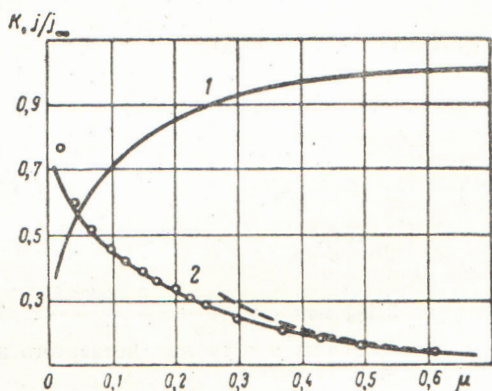
$$\frac{j(\mu)}{j_{\infty}} = 2 [0,2906 (1-e^{-7,314\mu}) + 0,06688 (1-e^{-44,61\mu}) + 0,03094 (1-e^{-113,91\mu}) + 0,1116]. \quad (20)$$

При $\mu \rightarrow 0$ эти выражения недостаточно точны, так как они дают $K(0)=0,777$ и $\frac{j(0)}{j_{\infty}} = 0,2232$ вместо единицы и нуля соответственно. Однако поскольку $\lambda_4^2=216$, то при $\mu=0,014$ вклад четвертого и всех последующих членов в выражении (19) отличается от принятого для больших μ значения (0,000169) на 5%, а при $\mu \geq 0,02$ ошибка не превышает 1%. Кривые для $K(\mu)$ и $j(\mu)/j_{\infty}$, рассчитанные по уравнениям (19) и (20), приведены на рисунке. Пунктирная кривая соответствует выражению $K = \frac{1}{12\mu}$. Как видно из графика, этим выражением можно пользоваться с точностью не ниже 5% при $\mu \geq 0,4$.

Следует отметить, что при получении выражений для $c(\eta, \mu)$, $j(\mu)$ и $K(\mu)$ предполагалось, что в канале устанавливается пуазейлевское течение. На самом же деле во входном участке канала длиной $x_f \approx 0,1 r_0 Re$ (Re —число Рейнольдса) [3] профиль скоростей значительно отличается от параболического профиля и, кроме того, там существует радиальная составляющая скорости, которая изменяет распределение концентраций по

сечению. Это значит, что при $\mu < \mu_f = \frac{D\chi_f}{2\bar{u}r_0^2} = 0,1 \frac{D}{v}$, где v — кинематическая вязкость, уравнение (1), как и решения (16) — (20), неверно описывает процесс диффузии. В области, где устанавливается концентрация, т. е. при $\mu \geq \mu_d = 0,4$, входной участок не влияет на распределение концентрации. Это объясняется тем, что при нормальных условиях $\mu_f < \mu_d$, так как коэффициенты диффузии не превышают величины $0,2 \text{ см}^2/\text{сек}$. Таким образом, при $\mu \geq \mu_d = 0,4$ можно пользоваться выражениями (7) — (9).

В промежуточной области ($\mu_f < \mu < \mu_d$) применимость выражений (19), (20) проверялась на основании



Зависимость j/j_∞ по уравнению (20) и K по уравнению (19) от μ (кривые 1 и 2 соответственно).

экспериментальных данных работы [4], в которой коэффициент диффузии атомов радия A в воздухе при нормальных условиях определялся по их осаждению на стенках цилиндрической трубки из ламинарного потока. Вычисленные по этим данным значения коэффициента K при заданных μ показаны на рисунке в виде точек. Как видно из графика, вплоть до $\mu = 0,07$ экспериментальные точки хорошо совпадают с теоретической кривой. Это дает основание предположить, что влияние входного участка в указанной области несущественно, и оправдывает применимость выражений (19), (20).

Полученные аналогичным методом выражения для $c(\eta, \mu)$, $j(\mu)$ и $K(\mu)$ в случае плоского канала высотой $2h$ и шириной, намного большей высоты, имеют вид

$$c(\eta, \mu) = \frac{2qh^2}{D} \sum_{k=1}^{\infty} \frac{M_k (1 - e^{-\lambda_k^2 \mu})}{\lambda_k e^{-\lambda_k} \frac{d_1 F_1}{d\eta} \Big|_{\eta=1} \frac{d_1 F_1}{d\lambda} \Big|_{\lambda=\lambda_k, \eta=1}} \times e^{-\frac{1}{2} \lambda_k \eta^2} {}_1F_1 \left[-\frac{1}{4} (\lambda_k - 1) \mid \frac{1}{2} \lambda_k \eta^2 \right]; \quad (21)$$

$$j(\mu) = -2qh\Delta t \sum_{k=1}^{\infty} \frac{M_k}{\lambda_k e^{-\frac{1}{2} \lambda_k} \frac{d_1 F_1}{d\lambda} \Big|_{\lambda=\lambda_k, \eta=1}} (1 - e^{-\lambda_k^2 \mu}); \quad (22)$$

$$K(\mu) = -2 \sum_{k=1}^{\infty} \frac{M_k}{\lambda_k^3 e^{-\frac{1}{2} \lambda_k} \frac{d_1 F_1}{d\lambda} \Big|_{\lambda=\lambda_k, \eta=1}} (1 - e^{-\lambda_k^2 \mu}), \quad (23)$$

где

$$\eta = \frac{z}{h}; \quad \mu = \frac{2Dx}{3uh^2};$$

$$M_k = \int_0^1 e^{-\frac{1}{2} \lambda_k \eta^2} {}_1F_1 \left(-\frac{1}{4} (\lambda_k - 1) \mid \frac{1}{2} \lambda_k \eta^2 \right) d\eta.$$

Для получения расчетных формул значения λ_k и $\frac{d_1 F_1}{d\lambda}$ были взяты из работы [1], в которой даны только первые два значения этих величин:

$$\lambda_1 = 1,6816; \quad \lambda_2 = 5,6699;$$

$$\frac{d_1 F_1}{d\lambda} \Big|_{\lambda=\lambda_1; \eta=1} = -2,29667; \quad \frac{d_1 F_1}{d\lambda} \Big|_{\lambda=\lambda_2; \eta=1} = 20,1.$$

Значения λ_3 и $\frac{d_1 F_1}{d\lambda} \Big|_{\lambda=\lambda_3}$, которые приводятся в работе [5], к сожалению, использовать нельзя, так как они вычислены неверно. Первые два значения $\lambda_k M_k$ были вычислены нами на электронно-вычислительной машине:

$$\lambda_1 M_1 = 0,80326; \quad \lambda_2 M_2 = -0,76397.$$

Подставив эти значения в выражения (22) и (23), получим для $\mu \geq 0,03$

$$\frac{j(\mu)}{j_\infty} = 2 [0,37176 (1 - e^{-2,828\mu}) + 0,04794 (1 - e^{-32,15\mu}) + 0,0803]; \quad (24)$$

$$K(\mu) = \frac{2}{\mu} [0,1315 (1 - e^{-2,828\mu}) + 0,001491 (1 - e^{-32,15\mu}) + 0,0003763]. \quad (25)$$

Из-за отсутствия экспериментальных данных нельзя точно указать пределы применимости этих выражений. Однако можно предположить, что отличие от случая круглого канала не очень велико. При $\mu \geq 1,0$ с точностью не ниже 5% можно пользоваться асимптотическим выражением

$$K(\mu) = \frac{4}{15\mu}. \quad (26)$$

Поступило в Редакцию 21/X 1963 г.

ЛИТЕРАТУРА

1. P. Gormley. Proc. Roy. Irish. Acad., A45, 59 (1938).
2. P. Gormley, M. Kennedy. Proc. Roy. Irish. Acad., A52, 12, 163 (1949).
3. В. Г. Левич. Физико-химическая гидродинамика. М., Физматгиз, 1959.
4. В. И. Корпусов. Дипломная работа МХТИ им. Менделеева, 1963.
5. W. De Marcus, J. Thomas. U. S. Atomic Energy Commiss. ORNL-1413, 1952.